



مجله علوم و تکنولوژی پلیمر، سال بیستم،

شماره ۳، صفحه ۲۵۷-۲۶۹

ISSN : 1016-3255

# مدل سازی رهایش دارو از سامانه نوین پلیمری پاسخگو به دما

## Drug Release Modeling from a Novel Temperature-responsive Polymeric System

محمد سیروس آذر<sup>۱\*</sup>، هاجر جعفری عنصررودی<sup>۱</sup>، مهرداد کوکبی<sup>۲</sup>

۱- اردبیل، دانشگاه محقق اردبیلی، دانشکده فنی و مهندسی، گروه مهندسی شیمی، صندوق پستی ۵۶۱۹۹/۱۱۳۶۷

۲- تهران، دانشگاه تربیت مدرس، دانشکده فنی و مهندسی، گروه مهندسی پلیمر، صندوق پستی ۱۴۱۵۵/۱۴۳

دریافت: ۸۵/۶/۱۱، پذیرش: ۸۵/۱۷

### چکیده

امروزه سامانه‌های دارورسانی هوشمند پاسخگو به عوامل محرك کاربردهای متعددی را در زمینه علوم و مهندسی داروسازی دارند. این قبیل سامانه‌ها به واسطه تغییر در مقادیر عامل محرك اعمال شونده بر آنها از قبیل دما، pH، نور، میدان‌های الکتریکی و مغناطیسی ماده دارویی را حسب نیاز و به طور هوشمند در بدنه آزاد می‌کنند. از میان این سامانه‌های دارورسانی هوشمند، بیشترین پژوهش‌ها روی سامانه‌های هوشمند پاسخگو به دما انجام شده است. در تهیه این قبیل سامانه‌ها اغلب از مواد پلیمری و هیدروژل‌های هوشمند استفاده می‌شود. با توجه به این که مواد پلیمری هوشمند پاسخگو به دما و همچنین سامانه‌های مبتنی بر آنها، علاوه بر دما به سایر محرك‌های نیز پاسخگو هستند، بنابراین در عمل و به واسطه اثر سایر محرك‌ها، عملاً پاسخگویی سامانه با اختلال مواجه شده و رهایش مطلوب و مورد نظر دارو از آنها انجام نمی‌شود. افزون بر این، روابط ریاضی حاکم بر پاسخگویی آنها اغلب پیچیده و شامل روابط ریاضی دشوار است. از این رو در پژوهش حاضر، یک سامانه دارورسانی هوشمند پاسخگو به دما معرفی می‌شود که در آن رهایش دارو تنها در اثر تغییر دمای محیط آزادسازی است، در ضمن روابط ریاضی حاکم بر آن به طور قابل ملاحظه‌ای ساده است. سامانه مورد نظر که دارای ساختار صفحه‌ای شکل مرکب از سه لایه است، در حالت شبیه پایا مدل سازی شده و چگونگی اثر عوامل و مشخصه‌های اساسی سامانه روی پاسخگویی آن بررسی شده است. بر اساس نتایج حاصل از مدل سازی سامانه معلوم شد که نحوه پاسخگویی سامانه به نوع مواد تشکیل‌دهنده لایه‌های مختلف آن (و خواص فیزیکی و شیمیایی آنها)، ابعاد سامانه و سایر عوامل وابسته به آن بستگی دارد. به کمک نتایج حاصل می‌توان سامانه‌های دارورسانی هوشمند پاسخگو به عامل محرك دارا با ویژگی‌های مطلوب و مورد نظر طراحی و تولید کرد.

### واژه‌های کلیدی

سامانه آزادسازی دارو،  
هیدروژل هوشمند، مدل سازی،  
انتقال گرمای و جرم، پلیمر

### مقدمه

مثبت سینتیک دارو (pharmacokinetic effect)، کاهش دفعات مصرف دارو، تنظیم سطح نوسانات مقدار دارو در خون، کاهش آثار جانبی، کاهش مقدار تجمع و انباست دارو در بدنه، بهبود و اصلاح زیست‌دسترس پذیری (bioavailability) برخی از داروها و در نهایت افزایش بازدهی سامانه‌های آزادسازی کنترل شده دارو (controlled drug delivery system, CDDS)، ابزار نوین رهایش مواد دارویی در بدنه انسان به شمار می‌رond و کاربردهای فراوان و متعددی را در زمینه علوم و فناوری داروسازی یافته‌اند. این سامانه‌ها مزایای فراوانی را از جمله ایجاد آثار

### Key Words

drug delivery system,  
smart hydrogel, modeling,  
heat and mass transfer, polymer

هیدروژلی حساس به دما شناخته شده است، به نحو چشمگیری به غلظت نمک NaCl موجود در محیط و همچنین فشار محیط حساس است و ساز و کار پاسخگوی آن علاوه بر دما، تحت تأثیر تغییر این عوامل محرک نیز قرار می‌گیرد [۹، ۱۰].

حساس بودن هیدروژل‌های پاسخگو به دما در برابر عوامل محرک خارجی، به دلیل وجود علائم (signals) زیستی متعدد در بدن انسان، استفاده از آنها در تهیه سامانه‌های دارورسانی هوشمند پاسخگو به دما محدود می‌کند. سامانه‌های دارورسانی هوشمند مبتنی بر هیدروژل‌های حساس به دما، نه تنها از لحاظ تحلیلی و نظری شامل روابط نسبتاً پیچیده‌ای هستند، بلکه اغلب در عمل به دلیل اثرگذاری سایر عوامل محرک بر ساز و کار کارایی رهایش دارو از آنها، الگوی رهایش متفاوتی نسبت به الگوی از پیش تعیین شده نشان می‌دهند و عملاً با مفهوم پایه‌ای CDDDS ها و سامانه‌های دارورسانی هوشمند (رهایش قابل پیش‌بینی دارو) هم خوانی ندارند.

در این پژوهش، سامانه نوین دارورسانی هوشمند پاسخگو به دما معرفی می‌شود که در آن رهایش دارو (یا هر جزء فعل دیگر) تنها تحت تأثیر عامل محرک دماست، در نتیجه روابط رهایش حاکم بر آن به طور قابل توجهی ساده است. در این سامانه، برخلاف سایر سامانه‌های هوشمند پاسخگو به دما، که در آنها از خواص متعدد پلیمرها و هیدروژل‌های هوشمند از قبیل تغییرات تورمی شبکه، انتقال فاز سل-زل، دمای انتقال شیشه‌ای و دمای ذوب بلوری استفاده می‌شود [۲]، دارو با ساز و کار نفوذ و به واسطه تغییر فاز جامد - مایع لایه میانی، که در میان هسته دارویی و لایه محافظت کننده بیرونی سامانه قرار می‌گیرد، آزاد می‌شود. سامانه مورد نظر تنها در اثر تغییرات دمای محیط، دارو را به طور روشن - خاموش (on-off)، آزاد می‌کند، به این حالت که اگر دمای محیط به دمایی بیشتر از دمای مورد نظر برای شروع رهایش ( $T_{set}$ ) برسد، رهایش دارو انجام شده (حالت on) و در حالتی که دما به زیر  $T_{set}$  کاهش یابد، آزاد شدن آن متوقف می‌شود (حالت off).

### معرفی سامانه

سامانه مورد نظر از لحاظ ساختاری، از سه بخش کاملاً مجزا از هم تشکیل شده است که عبارتند از: هسته مرکزی دارویی، لایه تغییر فازدهنده میانی و لایه محافظت پلیمری بیرونی. بخش‌های مختلف این سامانه به طور متوالی و پشت سر هم قرار گرفته، دارای ساختاری مشابه سامانه‌های رهایش کنترل شده مخزنی چندلایه است. بخش مهم و اساسی این سامانه که به عنوان حسگر دمایی عمل کرده، قابلیت پاسخ‌دهی را در برابر تغییرات دماییجاد می‌کند، لایه میانی است. این لایه

درمان در مقایسه با سامانه‌های متداول دارورسانی موجب می‌شوند [۱]. اساس فناوری CDDDS ها به طور نظری بر رهایش دارو در مکان و زمان مشخص و منطبق بر الگوی رهایش ویژه از پیش تعیین شده استوار است [۲]. به تازگی از میان CDDDS های موجود، سامانه‌های دارورسانی پیشرفته‌ای با عنوان سامانه‌های رهایش حساس به شرایط محیط یا عوامل محرک خارجی مطرح شده‌اند که به نحو مطلوبی دارای تمام ویژگی‌های یاد شده هستند. مبنای اساسی این قبیل سامانه‌ها بر پایه استفاده از خواص منحصر به فرد هیدروژل‌های حساس به عوامل محرک خارجی استوار است [۳، ۴].

در حالت کلی، هیدروژل‌ها شبکه‌های پلیمری آبدوست و دارای ساختار سه بعدی هستند که با برقراری اتصالات عرضی بین زنجیری از نوع پیوندهای کووالانسی، هیدروژنی، برهم‌کنش‌های واندروالسی یا اتصالات فیزیکی شبکه‌ای شده و با حفظ شکل اولیه، مقدار فراوانی از آب یا محلول‌های آبی پیرامون خود را جذب می‌کنند [۳، ۵].

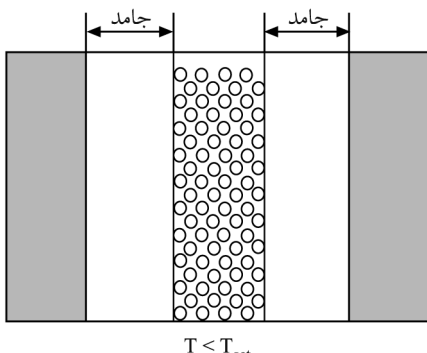
هیدروژل‌های حساس به شرایط محیط، قابلیت پاسخگویی به تغییرات را در شرایط محیط بیرونی دارند. این ترکیبات تغییرات بارزی را در رفتار تورمی، ساختار شبکه یا قدرت کششی در پاسخ به تغییرات عامل محرک خارجی نظیر دما، pH، فشار، نور، میدان‌های الکترومغناطیسی و همچنین وجود برخی مولکول‌های ویژه از قبیل گلوکوز و پاتن‌های نشان می‌دهند [۶، ۷]. این قبیل هیدروژل‌های حساس به محیط، هیدروژل‌های هوشمند نامیده می‌شوند [۷].

هیدروژل‌های هوشمند حساس به دما، بزرگترین و متداولترین گروه از هیدروژل‌های پاسخگو به تحريك خارجی هستند که در زمینه پژوهش‌های مرتبط با فناوری CDDDS ها، بیشترین مطالعات روی آنها انجام شده است [۸].

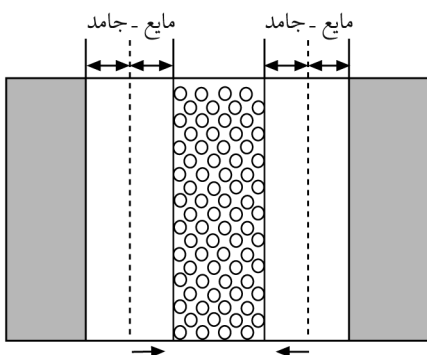
استفاده از دما به عنوان محرک زیستی، به دلیل این واقعیت که دمای بدن انسان در مجاورت عوامل بیماری زا و تب زا از دمای طبیعی ( $37^{\circ}\text{C}$ ) تغییر می‌کند، مورد توجه است. این تغییرات به عنوان عامل محرک مناسب، رهایش دارو را در سامانه‌های مختلف رهایش دارویی پاسخگو به دما در مورد بیماری‌های همراه با تب فراهم می‌کند [۲].

با تمام قابلیت‌هایی که هیدروژل‌های حساس به دما در تهیه سامانه‌های دارورسانی هوشمند دارند، با این حال در برخی موارد کارایی نسبتاً نامطلوبی نشان می‌دهند. در حالت کلی، اغلب هیدروژل‌های حساس به دما، تنها به دما حساس نیستند، بلکه سایر عوامل محرک از قبیل pH، قدرت یونی، فشار و غلظت مواد موجود در محیط نیز بر چگونگی پاسخگویی آنها اثر می‌گذارند. برای مثال، پلی N-ایزوپروپیل آکریل‌آمید(PNIPAAm) که به عنوان

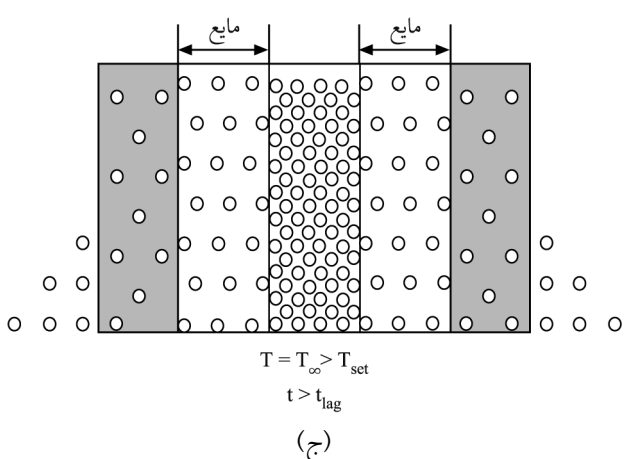
محافظ است. این دو پدیده به طور متوالی اتفاق می‌افتد و تا زمانی که لایه میانی کاملاً ذوب نشده باشد، دارویی از آن عبور نخواهد کرد. پس از تغییر فاز کامل لایه میانی (در زمان  $t = t_{lag}$ )، فرایند نفوذ آغاز و پس از آن دارو در محیط آزاد می‌شود. شکل ۲ نحوه عکس العمل سامانه به تغییرات دمای محیط در حالت رهایش (on) را در زمان‌های مختلف نشان می‌دهد.



(الف)



(ب)



(ج)

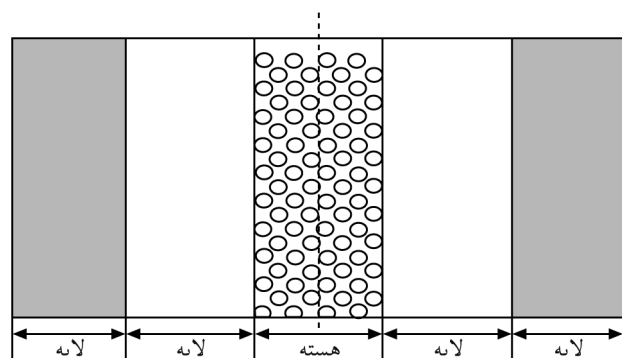
شکل ۲- پاسخ سامانه به تغییرات دمای محیط در حالت on.

باید در دمای  $T_{set}$  تغییر فاز جامد - مایع را متحمل شود و به عبارت دیگر دمای ذوب آن ( $T_m$ )، برابر دمای مقرر برای شروع رهایش ( $T_{set}$ ) باشد. این لایه همچنین باید قابلیت عبوردهی دارو را از خود، در حالت مایع داشته باشد و در حالت جامد به عنوان سدی در برابر عبور آن عمل کند. هسته مرکزی دارو، منع بی نهایت دارویی در نظر گرفته شده، فرض می‌شود که غلظت دارو در آن همواره برابر غلظت اشباع ( $C_s$ ) باشد. در مورد لایه پلیمری بیرونی نیز که به عنوان لایه محافظ سامانه استفاده می‌شود، فرض بر این است که قابلیت عبوردهی دارو و قابلیت حفظ شکل و ساختار کلی سامانه را برای مدت زمان طولانی دارد. همچنین محیط رهایش، محیطی نامحدود در نظر گرفته می‌شود که غلظت دارو در آن همواره در حدود صفر است. نحوه کارایی سامانه بر پایه تغییر فاز جامد - مایع لایه میانی و نفوذ دارو از آن (در حالت مایع) استوار است. شکل ۱، اجزای تشکیل دهنده و نحوه قرار گرفتن آنها را به طور طرح وار برای سامانه صفحه‌ای شکل (در مختصات کارتزین) نشان می‌دهد. برای بیان نحوه رهایش دارو بر اساس تغییرات دمای محیط، این سامانه در دو حالت انجام رهایش (on) و قطع رهایش (off) بررسی می‌شود.

### نحوه کارایی سامانه حالت رهایش (on)

فرض کنید سامانه مورد نظر در محیط رهایش با دمایی کمتر از  $T_{set}$  قرار دارد و از لحظه گرمایی با آن به تعادل رسیده است. در حالتی که در لحظه‌ای مشخص ( $t = 0$ ) دمای محیط به طور آنی به دمایی بیشتر از  $T_{set}$  یعنی  $T_\infty$  برسد، بر اساس فرضیات انجام شده برای سامانه، وقوع دو پدیده زیر احتساب نایاب است:

پدیده اول ذوب شدن تدریجی لایه میانی به واسطه انتقال گرما از محیط به درون سامانه و پدیده دوم نفوذ دارو از میان لایه میانی مذاب و لایه



شکل ۱- نمای برش خورده سامانه و نحوه آرایش لایه‌های آن.

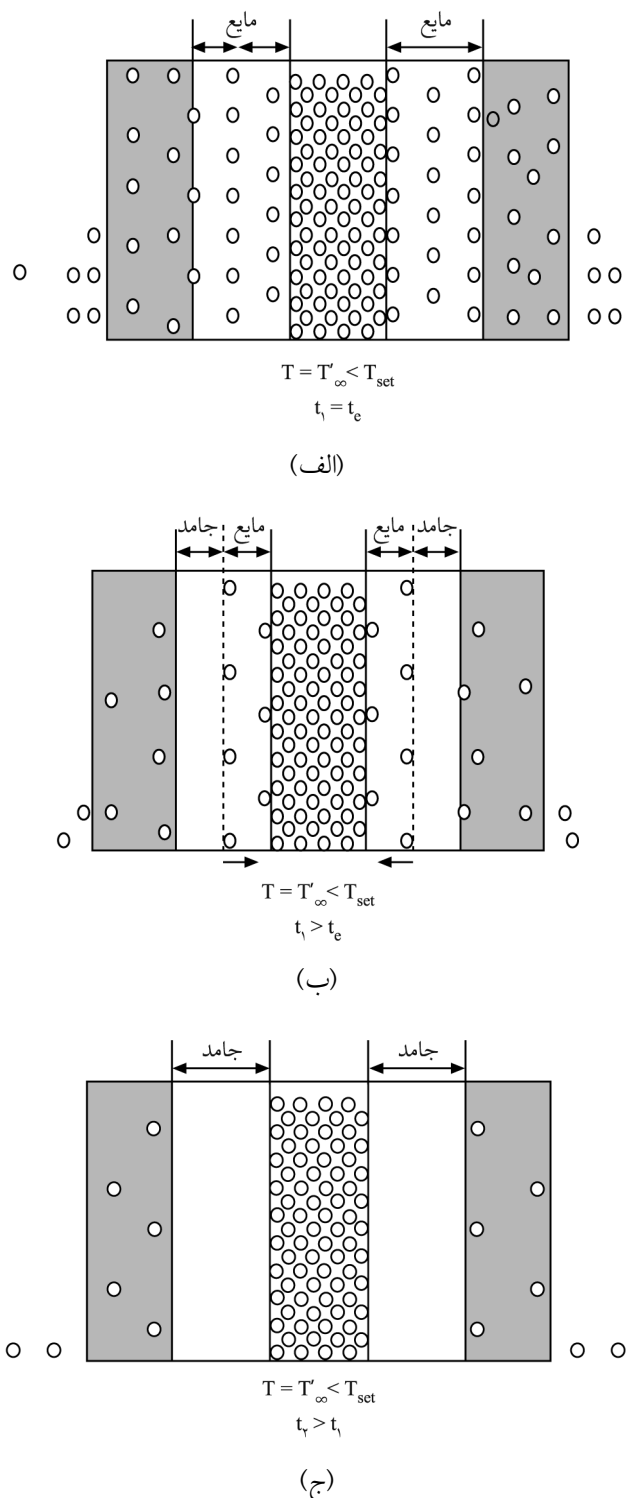
### حالت قطع رهایش (off)

فرض کنید مدتی پس از آغاز رهایش، در لحظه‌ای مشخص مانند  $t_e > t_{lag}$  دمای محیط رهایش به طور ناگهانی از  $T_{\infty}$  کاهش یابد. در این حالت پدیده  $T_{set}$  است، به دمایی کمتر از  $T_{\infty}$ .  $T_{set}$  سرد شدن و انجماد لایه میانی به واسطه انتقال گرما از سامانه به محیط و در نتیجه کاهش مقدار رهایش دارو به دلیل تشکیل لایه منجمد در مرز لایه میانی و لایه محافظه مانع از نفوذ دارو از لایه میانی به لایه محافظه اتفاق می‌افتد. بر خلاف حالت on، این دو پدیده به طور موازی و هم زمان رخ می‌دهند. به این شکل که به محض تشکیل اولین لایه جامد در سطح مشترک لایه میانی با لایه محافظه، فرایند نفوذ دارو از لایه میانی به لایه محافظه متوقف می‌شود، ولی نفوذ بخشی از داروی موجود در لایه محافظه به محیط هم چنان ادامه می‌یابد. همان‌طور که در شکل ۳ نشان داده شده است، با گذشت زمان در حالت off وسعت ناحیه جامد در لایه میانی افزایش می‌یابد و در عین حال مقدار آزادشدن داروی موجود در لایه میانی نیز کاهش می‌یابد.

با توجه به نحوه کارایی سامانه، بدیهی است که پاسخ دهی آن به تغییرات دمای محیط در هر دو حالت on و off با تاخیر زمانی انجام می‌شود. در شرایط ایده‌آل انتظار می‌رود که به محض افزایش دمای محیط به بالای  $T_{set}$ ، بلاfacسله رهایش دارو در محیط آغاز شود و در حالتی که دما به زیر  $T_{set}$  انتقال یابد، رهایش به طور آنی متوقف شود. در حالی که در عمل، به دلیل مقاومت‌های موجود در برابر انتقال گرما و جرم، تاخیر زمانی در پاسخگویی سامانه وجود دارد. یکی از اهداف اساسی این پژوهش، بررسی تأخیر زمانی سامانه در پاسخگویی و همچنین تعیین سرعت رهایش دارو در هر دو حالت on (رهایش با تأخیر) و off (رهایش ناخواسته) است.

### مدل سازی کارایی سامانه

به منظور تعیین نحوه پاسخ دهی سامانه به تغییرات دمای محیط و انجام مدل سازی آن، معادلات انتقال گرما و جرم حاکم بر سامانه در حالت شبیه پایا حل می‌شود. با فرض حاکم بودن حالت شبیه پایا می‌توان در هر لحظه پروفیل‌های دما و همچنین غلظت دارو را در تمام لایه‌های سامانه به طور خطی در نظر گرفت. با حل معادلات انتقال گرما می‌توان تأخیر زمانی سامانه در پاسخ به تغییرات دمای محیط و با حل معادلات انتقال جرم می‌توان سینتیک رهایش دارو را از سامانه معین کرد. به منظور تحلیل معادلات انتقال گرما و جرم، با توجه به متقارن بودن سامانه نسبت به مرکز هسته دارویی، روی یک نیمه از سامانه تمرکز می‌شود. برای سهولت در حل معادلات، مبدأ مختصات مکانی (x) را در سطح مشترک



شکل ۳- پاسخ سامانه به تغییرات دمای محیط در حالت off.

لایه محافظه و لایه میانی اختیار کرده ( $x=0$ ) و جهت مثبت محور  $x$  به سمت مرکز سامانه اخبار می‌شود. بر این اساس و با انتخاب پارامترهایی

$$T_s(x,t) = C_5(t)x + C_6(t) \quad S(t) \leq x \leq L_1 \quad (3)$$

$$T_d(x,t) = C_7(t)x + C_8(t) \quad L_1 \leq x \leq L_2 \quad (4)$$

در معادلات (۱) تا (۴)،  $C_1(t) - C_8(t)$  توابع نامشخصی از متغیر زمان هستند. برای تعیین این توابع، باید شرایط مرزی و اولیه حاکم بر سامانه را در معادلات (۱) تا (۴) اعمال کرد. بر اساس فرضیات انجام شده در مورد سامانه، شرایط مرزی و اولیه به شکل زیر قابل بیان است:

$$T_p(-L_3, t) = T_\infty \quad (5)$$

$$T_p(0, t) = T_1(0, t) \quad (6)$$

$$k_p \frac{\partial T_p(0, t)}{\partial x} = k_1 \frac{\partial T_1(0, t)}{\partial x} \quad (7)$$

$$T_1(S(t), t) = T_s(S(t), t) = T_m \quad (8)$$

$$k_s \frac{\partial T_s(S(t), t)}{\partial x} - k_1 \frac{\partial T_1(S(t), t)}{\partial x} = \rho L \frac{dS(t)}{dt} \quad (9)$$

$$T_d(L_1, t) = T_s(L_1, t) \quad (10)$$

$$k_s \frac{\partial T_s(L_1, t)}{\partial x} = k_d \frac{\partial T_d(L_1, t)}{\partial x} \quad (11)$$

$$\frac{\partial T_d(L_2, t)}{\partial x} = 0 \quad (12)$$

$$S(0) = 0 \quad (13)$$

معادلات (۵) تا (۱۲) شرایط مرزی و معادله (۱۳) شرط اولیه حاکم بر سامانه را نشان می‌دهند. در این معادلات،  $k_p$ ,  $k_s$ ,  $k_1$ ,  $k_d$  و  $\rho L$  به ترتیب ضرایب رسانندگی گرمایی لایه محافظ، لایه میانی در حالت مایع، لایه میانی در حالت جامد و هسته دارویی هستند. همچنین  $T_m$  و  $L$  نیز به ترتیب دمای ذوب، چگالی و گرمای نهان ذوب ماده یا مواد تشکیل دهنده لایه میانی هستند.

معادلات (۷)، (۹) و (۱۱) به ترتیب با نوشتن موازنگر مایع و با فرض

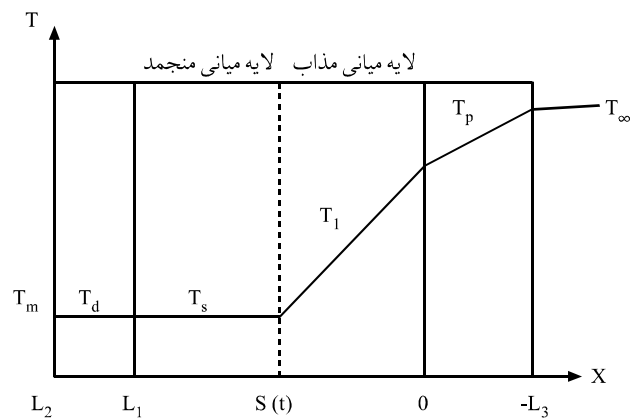
برای نمایش مرزهای سامانه (مطابق شکل ۴) فاصله سطح مشترک لایه میانی و هسته دارویی، مرکز سامانه و سطح مشترک لایه محافظ با محیط به ترتیب برابر  $L_1$ ,  $L_2$  و  $-L_3$  است. همچنین، موقعیت سطح مشترک لایه میانی مذاب و منجمد را که سطحی متحرک و متغیر با زمان  $S(t)$  نشان داده می‌شود. با انتخاب این پارامترها تحلیل معادلات انتقال گرما و جرم در دو حالت on و off به طور مجزا بررسی می‌شود.

#### مدل سازی در حالت رهایش (on)

تحلیل معادلات انتقال گرما برای بررسی کارایی سامانه از نظر گرمایی در حالت on، فرض می‌شود که در لحظه  $t=0$  دمای محیط رهایش به طور ناگهانی از دمایی کمتر از  $T_{set}$  به دمای بیشتر از آن ( $T_\infty$ ) رسیده، در آن دما ثابت بماند. در این لحظه ( $t=0$ ) همچنین فرض می‌شود که موقعیت سطح متحرک بین فاز جامد - مایع در لایه میانی ( $(S(t))$ ) در نقطه  $x=0$  قرار دارد. بدینهی است به مرور زمان و به واسطه پدیده انتقال گرما، وسعت ناحیه مایع از لایه میانی افزایش یافته و تابع  $S(t)$  در جهت محور  $x$  و در محدوده ۰ تا  $L_1$  تغییر می‌کند. اگر دمای بخش‌های مایع و جامد لایه میانی به ترتیب با  $T_s$  و  $T_1$  نشان داده شود، بر اساس فرض حاکم بودن حالت شبیه پایا، دما در تمام لایه‌ها در لحظه مشخصی مانند  $t$ ، بر حسب متغیر مکانی ( $x$ ) خطی خواهد بود:

$$T_p(x, t) = C_1(t)x + C_2(t) \quad -L_3 \leq x \leq 0 \quad (1)$$

$$T_1(x, t) = C_3(t)x + C_4(t) \quad 0 \leq x \leq S(t) \quad (2)$$



شکل ۴. موقعیت لایه‌های سامانه و پروفیل‌های دما در آنها.

زیر به دست می آید:

$$S(t) = \frac{-k_1 L_3}{k_p} \pm \sqrt{\left(\frac{k_1 L_3}{k_p}\right)^2 + 2\alpha t} \quad 0 \leq t \leq t_{lag} \quad (18)$$

که در آن،  $\alpha$  پارامتری است که به شکل زیر تعریف شده است:

$$\alpha = \frac{k_1(T_\infty - T_m)}{\rho L} \quad (19)$$

با توجه به این که  $S(t)$  همواره در محدوده ۰ تا  $L_1$  متغیر است، بنابراین معادله (۱۸) همواره مقداری مثبت داشته باشد. از این رو، تنها جواب زیر برای  $S(t)$  قابل قبول است:

$$S(t) = \frac{-k_1 L_3}{k_p} + \sqrt{\left(\frac{k_1 L_3}{k_p}\right)^2 + 2\alpha t} \quad 0 \leq t \leq t_{lag} \quad (20)$$

با مساوی قرار دادن معادله (۲۰) با  $L_1$  به شکل زیر به دست می آید:

$$t_{lag} = \frac{L^2}{2\alpha} + \frac{k_1}{k_p} \frac{L_1 L_3}{\alpha} \quad (21)$$

### تحلیل معادلات انتقال جرم

با توجه به فرضیات انجام شده در مورد سامانه، بدیهی است که تا قبل از ذوب شدن کامل لایه میانی، دارو از سامانه آزاد نمی شود. در واقع پاسخ سامانه (آزاد شدن دارو) پس از بروز تغییرات در محیط (در لحظه  $t = 0$ ) پس از گذشت زمانی معادل  $t_{lag}$  اتفاق می افتد. در این بخش تلاش می شود تا مقدار داروی آزاد شده از سامانه در زمان های بزرگتر از  $t_{lag}$  به دست آید. برای این منظور باید معادلات انتقال جرم حاکم بر سامانه در حالت شبیه پایا تحلیل شود.

بادر نظر گرفتن هسته دارویی و محیط رهایش به عنوان منبع نامحدود (infinite source) و چاه نامحدود (infinite sink)، می توان در تمام مدت انجام رهایش، غلظت دارو را در آنها به ترتیب برابر غلظت اشباع  $C_s$  و صفر در نظر گرفت. همچنین بر اساس فرض حاکم بودن حالت شبیه پایا، می توان در هر لحظه پروفیل های غلظت در لایه محافظ ( $C_p$ ) و لایه میانی مایع شده ( $C_l$ ) را تابعی خطی از متغیر مکان ( $x$ ) در نظر گرفت (شکل ۵). از این رو معادلات غلظت رامی توان در لحظه  $t$  برای لایه های یادشده به شکل زیر نوشت:

$$C_p(x, t) = E_1(t)x + E_2(t) \quad -L_3 \leq x \leq 0 \quad (22)$$

پایداری گرمایی در مرزها، حول نقطه  $x$  برابر با ۰،  $S(t)$  و  $L_1$  به دست آمده اند و در معادلات (۷) و (۹) از اثر انتقال گرمایی روش جابه جایی در بخش مایع لایه میانی صرف نظر شده است. همچنین، در معادله (۹) چگالی فاز جامد و مایع لایه میانی یکسان در نظر گرفته شده است. معادله (۸) با علم به این که برای تمام مواد تغییر فازدهنده از حالت جامد به مایع یا بر عکس، دمای سطح مشترک بین دو فاز طی مدت زمان تغییر فاز در دمای ذوب باقی می ماند، نوشه شده است. معادله (۱۲) نیز با توجه به متقارن بودن سامانه بدیهی است.

با اعمال شرایط مرزی (۵) تا (۱۲) در معادلات (۱) تا (۴) و حل معادلات مربوط، توابع دما در لایه های مختلف سامانه به شکل زیر به دست می آید:

$$T_p(x, t) = \frac{-k_1(T_\infty - T_m)}{k_1 L_3 + k_p S(t)} x - \frac{k_1 L_3(T_\infty - T_m)}{k_1 L_3 + k_p S(t)} + T_\infty \quad (14)$$

$$T_l(x, t) = \frac{-k_p(T_\infty - T_m)}{k_1 L_3 + k_p S(t)} x - \frac{k_1 L_3(T_\infty - T_m)}{k_1 L_3 + k_p S(t)} + T_\infty \quad (15)$$

$$T_s(x, t) = T_m \quad (16)$$

$$T_d(x, t) = T_m \quad (17)$$

معادلات (۱۶) و (۱۷) نشان می دهند که دمای بخش جامد لایه میانی و هسته دارویی همواره در  $T_m$  ثابت باقی می ماند که این موضوع از فرض حاکم بودن حالت شبیه پایا بر سامانه ناشی می شود.

همان طور که قبلا اشاره شد، پارامتری که در تحلیل سامانه های رهایش پاسخگو به محیط اهمیت ویژه ای دارد، تأخیر زمانی سامانه در پاسخگویی به تغییرات عامل محرك بیرونی است. در سامانه مورد بحث، تأخیر زمانی در پاسخگویی برای شروع عملیات رهایش دارو (۱۸) که از مقاومت گرمایی لایه ها در برابر انتقال گرمایی می شود، عبارت است از مدت زمانی که به طول می انجامد تا تمام لایه میانی در دمای ثابت محیط ( $T_\infty$ ) از حالت کاملاً جامد به حالت کاملاً مایع تغییر فاز دهد.

از لحاظ ریاضی،  $t_{lag}$  زمانی است که تابع تغییر مکان بین فاز جامد و مایع بخش لایه میانی ( $S(t)$ )، مقداری معادل  $L_1$  داشته باشد. برای تعیین  $t_{lag}$  باید در ابتدا تابع  $S(t)$  مشخص شود. با ترکیب معادلات (۱۵) و (۱۶) با معادله (۹)، معادله دیفرانسیلی مرتبه اول به دست می آید که با حل آن و اعمال شرط اولیه معادله (۱۳) در آن، تابع  $S(t)$  به شکل

سرعت داروی آزاد شده از سامانه در لحظه  $t$ ، که در واقع معادل سرعت داروی نفوذ کننده از لایه میانی مذاب در همان لحظه است را می توان بر اساس قانون اول فیک معین کرد. با توجه به این که در لحظه  $t$ ، غلظت دارو در مرزهای لایه میانی  $(0 < x = L_1)$  برابر  $B(t)$  و  $C_s$  است، بنابراین قانون اول فیک را برای این حالت به شکل زیر می توان نوشت:

$$\frac{dM_t}{dt} = SD_1 \frac{C_s - B(t)}{L_1} \quad (31)$$

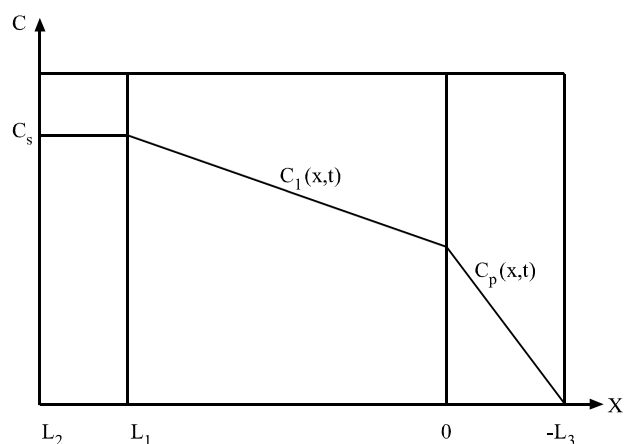
که در آن  $S$  مساحت سطح مقطع سامانه،  $D_1$  ضریب نفوذ دارو در لایه میانی ذوب شده و  $M_t$  مقدار داروی نفوذی از لایه میانی مذاب (مقدار داروی آزاد شده از سامانه) در لحظه  $t$  است.

شکل ۶، پروفیل های غلظت دارو در لایه های سامانه را در دو لحظه  $t$  و  $t+dt$  نشان می دهد. با توجه به این شکل می توان عنوان کرد که مقدار داروی آزاد شده بر واحد سطح سامانه در فاصله زمانی  $dt$  (یعنی  $dM_t/S$ ) معادل مجموع مساحت های دو مثلث هاشور خورده در شکل ۶ است. از این رو، می توان نوشت:

$$\frac{dM_t}{S} = \frac{1}{2}(L_1 + L_3)dB(t) \quad (32)$$

از ترکیب دو معادله (۳۱) و (۳۲) و با فرض ثابت بودن  $D_1$ ، معادله دیفرانسیلی مرتبه اول خطی ازتابع  $B(t)$  بر حسب متغیر زمان به شکل زیر حاصل می شود:

$$\frac{dB(t)}{dt} + \frac{B(t)}{\tau} = \frac{C_s}{\tau} \quad (33)$$



شکل ۵- پروفیل های غلظت در لایه های سامانه در حالت on.

$$C_1(x, t) = E_3(t)x + E_4(t) \quad 0 \leq x \leq L_1 \quad (23)$$

که در آنها  $E_1(t)$  تا  $E_4(t)$  توابع مجھولی از متغیر زمان هستند. شرایط مرزی حاکم بر سامانه در این حالت عبارتند از:

$$C_p(-L_3, t) = 0 \quad (24)$$

$$C_p(0, t) = B(t) \quad (25)$$

$$C_1(0, t) = B(t) \quad (26)$$

$$C_1(L_1, t) = C_s \quad (27)$$

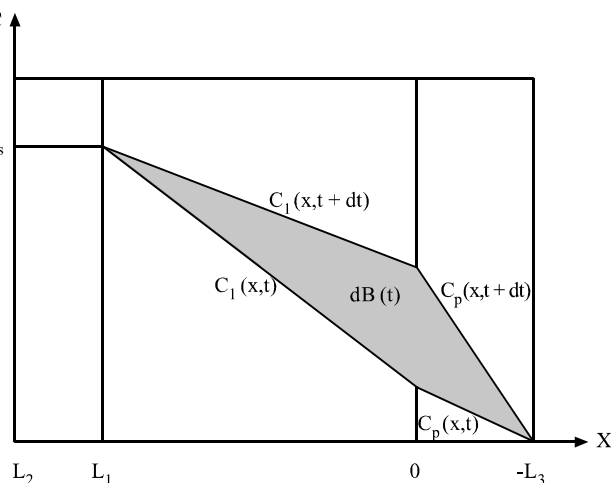
در معادلات (۲۵) و (۲۶)،  $B(t)$  غلظت دارو در لحظه  $t$  در سطح مشترک لایه میانی و لایه محافظ ( $x=0$ ) است که شرط اولیه زیر را بآورده می کند:

$$B(t_{lag}) = 0 \quad (28)$$

با اعمال شرایط مرزی (۲۴) تا (۲۷) در معادلات (۲۳) و (۲۴)، توابع  $C_1$  و  $C_p$  بر حسب تابع  $B(t)$  چنین به دست می آیند:

$$C_p(x, t) = \frac{B(t)}{L_3}x + B(t) \quad -L_3 \leq x \leq 0 \quad (29)$$

$$C_1(x, t) = \frac{C_s - B(t)}{L_1}x + B(t) \quad 0 \leq x \leq L_1 \quad (30)$$



شکل ۶- پروفیل های غلظت در لایه های سامانه در حالت on در دو لحظه  $t$  و  $t+dt$ .

که در لحظه  $t_0$  در موقعیت  $x=0$  قرار داشته، با گذشت زمان و با سردرت شدن سامانه به طرف موقعیت  $L_1 = x$  حرکت می‌کند. از این رو، بدیهی است که معادله (۳۸) که مقدار داروی آزاد شده از سامانه را بر حسب زمان برای حالت on بدست می‌دهد، برای زمان‌های بزرگتر از  $t_0$  معتبر نیست.

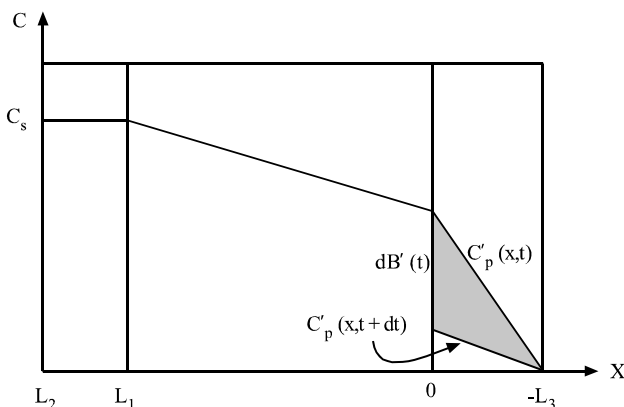
با توجه به این موضوع که بلافارسله با آغاز انجامد لایه میانی در زمان  $t_0$  انتقال جرم در مرز بین لایه میانی و لایه محافظه قطع خواهد شد. بنابراین در این حالت برخلاف حالت on، موضوع تأخیر زمانی سامانه ناشی از انتقال گرما در پاسخگویی بی اهمیت است. در این بخش مقدار داروی آزاد شده در محیط، پس از کاهش دمای محیط به  $T_\infty$  و آغاز انجامد لایه میانی به دست می‌آید. همان‌طور که قبل اشاره شد، در شرایط ایده‌آل، باید بلافارسله پس از کاهش دمای محیط به  $T_\infty$  رهایش جزء فعل متوقف شود، در حالی که در سامانه موردنظر، پس از کاهش دمای محیط به  $T_\infty$ ، رهایش همچنان ادامه می‌یابد و هدف این بخش، محاسبه سرعت رهایش دارو در این شرایط است. شکل ۷، پروفیل‌های غلظت دارو در لایه میانی ( $C'_p$ ) را می‌توان در لحظه  $t$  به شکل زیر در نظر گرفت:

$$C'_p(x, t) = F_1(t)x + F_2(t) \quad -L_3 \leq x \leq 0 \quad (39)$$

که در آن  $F_1(t)$  و  $F_2(t)$  توابع مجھولی از زمان هستند. در این حالت، شرایط مرزی حاکم بر سامانه عبارتند از:

$$C'_p(-L_3, t) = 0 \quad (40)$$

$$C'_p(0, t) = B'(t) \quad (41)$$



شکل ۷- پروفیل‌های غلظت در لایه محافظه سامانه در دو لحظه  $t$  و  $t+dt$ .

که در آن  $\tau$  ثابتی است (ثبت زمانی) که با معادله زیر بیان می‌شود:

$$\tau = \frac{(L_1 + L_3)L_1}{2D_1} \quad (34)$$

با حل معادله (۳۴) و اعمال شرط اولیه (۲۸)، تابع  $B(t)$  به شکل زیر به دست می‌آید:

$$B(t) = C_s \left( 1 - \exp \left( -\frac{1}{\tau} (t - t_{lag}) \right) \right) \quad (35)$$

معادله مشابه با معادله (۳۱) بر اساس قانون اول فیک، سرعت داروی نفوذکننده از لایه محافظه را که برابر سرعت داروی آزاد شده از سامانه است به شکل زیر به دست می‌دهد:

$$\frac{dM_t}{dt} = SD_p \frac{B(t)}{L_3} \quad (36)$$

که در آن  $D_p$  ضریب نفوذ دارو در لایه محافظه است. با قرار دادن معادله (۳۵) در معادله (۳۶)، سرعت داروی آزاد شده از سامانه به عنوان تابعی از زمان به دست می‌آید:

$$\frac{dM_t}{dt} = \frac{SD_p C_s \tau}{L_3} \left( 1 - \exp \left( -\frac{1}{\tau} (t - t_{lag}) \right) \right) \quad (37)$$

معادله (۳۷) با فرض ثابت بودن  $D_p$ ، پس از انتگرال گیری و ساده‌سازی، مقدار داروی آزاد شده از سامانه را بر حسب زمان به شکل زیر به دست می‌دهد:

$$M_t = \frac{SD_p C_s \tau}{L_3} \left[ \frac{1}{\tau} (t - t_{lag}) + \exp \left( -\frac{1}{\tau} (t - t_{lag}) \right) - 1 \right] \quad (38)$$

بدیهی است که معادله (۳۸) برای زمان‌های بزرگتر یا مساوی از تأخیر زمانی سامانه در پاسخگویی ( $t_0 \geq t_{lag}$ ) و مادامی که دمای محیط در  $T_\infty$  ثابت بماند معتبر است.

#### مدل سازی در حالت قطع رهایش (off)

فرض کنید در حالت on و در لحظه‌ای مشخص ( $t = t_0$ ،  $t < t_0$ )، دمای محیط رهایش به طور آنی از دمای ثابت  $T_\infty$  به دمای  $T_{set}$  که کوچکتر از  $T_\infty$  است، کاهش یافته و در آن ثابت بماند. در این حالت باید فرایند کاهش و توقف رهایش دارو انجام شود که به آن، حالت off (پایان حالت on) اطلاق می‌شود. در این حالت به واسطه انتقال گرما از لایه‌های سامانه به محیط، سطح متحرک بین فازی جامد- مایع در لایه میانی ایجاد می‌شود

به منظور بررسی کسری از داروی موجود در لحظه  $t$  در لایه محافظ که در هر لحظه در محیط آزاد می‌شود، از پارامتر  $M'_{\infty}/M'$  استفاده می‌شود. این پارامتر نشان دهنده کسری از داروی موجود در لایه میانی است که پس از کاهش دمای محیط به زیر  $T_{set}$  وارد محیط می‌شود. کل ماده دارویی موجود در لایه محافظ بعد از کاهش دمای محیط و شروع انجماد لایه میانی (در لحظه  $t$ ) است که به شکل زیر محاسبه می‌شود:

$$M'_{\infty} = \frac{SL_3}{2} B'(t_e) = \frac{SC_s L_3}{2} \left( 1 - \exp\left(-\frac{1}{\tau}(t_e - t_{lag})\right) \right) \quad (48)$$

با ترکیب معادلات (۴۷) و (۴۸) و ساده سازی، پارامتر  $M'_{\infty}/M'$  به شکل زیر به دست می‌آید:

$$\frac{M'_t}{M'_{\infty}} = 1 - \exp\left(-\frac{2D_p}{L_3^2}(t - t_e)\right) \quad (49)$$

لازم به ذکر است که معادلات (۴۷) و (۴۸) برای حالت off و در بازه زمانی  $t_e \geq t$  و مدامی که دمای محیط در  $\infty T$  ثابت باقی بماند، معتبر است.

## نتایج و بحث

در این بخش برای بررسی نتایج حاصل از مدل سازی سامانه، معادلات اساسی حاصل از تحلیل روابط انتقال گرما و جرم شامل تأخیر زمانی سامانه در پاسخگویی در حالت on، مقدار رهایش دارو در حالت های on و off و همچنین توابع غلظت بر حسب متغیرهای اثرگذار بر آنها در نمودارهای جداگانه رسم شده و بحث می‌شود.

همان طور که قبل اشاره شد، یکی از مهمترین عوامل در بررسی نحوه پاسخگویی سامانه، تأخیر زمانی آن در شروع فرایند آزاد سازی دارو پس از اعمال تغییرات در دمای محیط آزادسازی ( $t_{lag}$ ) است. بدینه است در شرایط آرمانی انتظار می‌رود که مقدار  $t_{lag}$  برای سامانه صفر باشد، در حالی که به واسطه وجود مقاومت‌های مختلف در برابر انتقال گرما، دست یابی به چنین حالتی امکان‌پذیر نیست، در عمل همواره  $t_{lag}$  مقداری بزرگتر از صفر است. مسلماً سامانه‌ای که دارای  $t_{lag}$  کوچکتری باشد، در سرعت پاسخگویی آن بیشتر و برای مقاصد عملی کاربردی تر است. برای سامانه مورد نظر، بر اساس معادله (۲۱)، تابعی از چند پارامتر  $t_{lag}$  اساسی سامانه از قبیل ضخامت لایه‌های میانی و محافظ ( $L_1$  و  $L_3$ )، ضرایب رسانندگی گرمایی لایه‌های میانی و محافظ ( $K_l$  و  $K_p$ ) و

$B'(t)$  غلظت دارو در سطح مشترک بین لایه میانی و لایه محافظ بر حسب زمان است که شرط زمانی زیر (با استفاده از معادله (۳۵)) در آن صادق است:

$$B'(t_e) = B(t_e) = C_s \left( 1 - \exp\left(-\frac{1}{\tau}(t_e - t_{lag})\right) \right) \quad (42)$$

با اعمال دو شرط (۴۰) و (۴۱) در معادله (۳۹)، تابع غلظت در لایه محافظ به دست می‌آید:

$$C'_p(x, t) = \frac{B'(t)}{L_3} x + B'(t) \quad -L_3 \leq x < 0 \quad (43)$$

بر اساس قانون اول فیک، سرعت داروی نفوذ کننده از لایه محافظ را با توجه به این که غلظت دارو در لحظه  $t$  در موقعیت‌های  $x=0$  و  $x=-L_3$  به ترتیب برابر  $B_2(t)$  و صفر است، می‌توان به صورت زیر نوشت:

$$\frac{dM'_t}{dt} = SD_p \frac{B'(t)}{L_3} \quad (44)$$

که در آن  $M'_t$ ، مقدار داروی نفوذ کرده از لایه محافظ با مقدار داروی آزاد شده در محيط در لحظه  $t$  است.

با توجه به شکل ۷، مقدار داروی نفوذ کننده بر واحد سطح سامانه از لایه محافظ (مقدار داروی آزاد شده در محيط بر واحد سطح سامانه) در فاصله زمانی  $dt$  برابر مساحت بخش هاشور خورده است. بر این اساس می‌توان نوشت:

$$\frac{dM'_t}{S} = \frac{L_3}{2} dB'(t) \quad (45)$$

از ترکیب دو معادله (۴۴) و (۴۵) و اعمال شرط زمانی (۴۲)، تابع  $B'(t)$  به دست می‌آید:

$$B'(t) = C_s \left( 1 - \exp\left(-\frac{1}{\tau}(t_e - t_{lag})\right) \right) \exp\left[\frac{2D_p}{L_3^2}(t - t_e)\right] \quad (46)$$

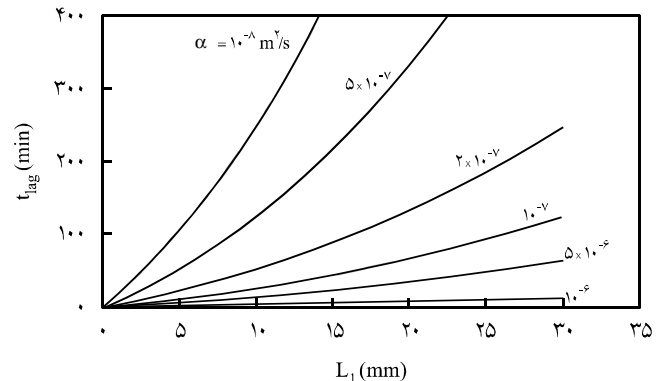
با ترکیب معادله (۴۶) با یکی از معادله‌های (۴۴) یا (۴۵) و ساده سازی، مقدار داروی آزاد شده از سامانه در لحظه  $t$  در حالت off به شکل زیر به دست می‌آید:

$$M'_t = \frac{SC_s L_3}{2} \left( 1 - \exp\left(-\frac{1}{\tau}(t_e - t_{lag})\right) \right) \left[ \exp\left(\frac{2D_p}{L_3^2}(t - t_e)\right) - 1 \right] \quad (47)$$

تغییر نوع ماده لایه میانی (یا تغییر خواص آن) و همچنین تغییر ضخامت آن، می‌توان به سامانه‌ای با  $t_{lag}$  مناسب دست یافت.

در شکل ۹، نمودار تغییرات  $t_{lag}$  بر حسب ضخامت لایه محافظ (L<sub>3</sub>)، به ازای مقادیر مختلفی از  $\alpha$  ترسیم شده است. این شکل به ازای مقادیر ثابتی از L<sub>1</sub> و K<sub>1</sub>/K<sub>p</sub> به ترتیب برابر با ۲ و ۵ mm رسم شده است. همان طور که مشاهده می‌شود، افزایش مقادیر L<sub>3</sub> موجب افزایش مقادیر  $t_{lag}$  شده، این مقادیر افزایش به ازای مقادیر بزرگ  $\alpha$  کم و به ازای مقادیر کوچکتر  $\alpha$  بیشتر است. همچنین، شکل ۹ نشان می‌دهد که به ازای مقادار مشخصی از L<sub>3</sub>، افزایش مقادیر ثابت  $\alpha$  موجب کاهش تأخیر زمانی سامانه در پاسخگویی در حالت on می‌شود. بر اساس شکل ۹ می‌توان  $t_{lag}$  را برابر هر سامانه بسته به مقادیر L<sub>3</sub> و  $\alpha$  آن معین کرد و تأخیر زمانی مربوط به پاسخگویی را در حالت on به دست آورد.

به منظور بررسی کمی اثر ضرایب رسانندگی گرمایی لایه‌های میانی و محافظ بر تأخیر زمانی سامانه در پاسخگویی در حالت on، نمودار تغییرات  $t_{lag}$  بر حسب کمیت بدون بعد K<sub>1</sub>/K<sub>p</sub> به ازای مقادیر متفاوتی از  $\alpha$  در شکل ۱۰ رسم شده است. همان‌طور که مشاهده می‌شود به ازای تمام مقادیر  $\alpha$ ، با افزایش نسبت ضریب رسانندگی گرمایی لایه میانی (K<sub>1</sub>) به ضریب رسانندگی لایه محافظ (K<sub>p</sub>)، افزایش می‌یابد و این مقادار افزایش برای مقادیر کوچکتر از  $\alpha$  باشد. بیشتری انجام می‌شود. همچنین، به ازای مقادیر ثابتی از K<sub>1</sub>/K<sub>p</sub>، افزایش مقادیر  $\alpha$  موجب کاهش تأخیر زمانی سامانه و افزایش سرعت پاسخگویی آن می‌شود. شایان ذکر است که در رسم منحنی‌های شکل ۱۰، ضخامت لایه‌های میانی و محافظ (L<sub>1</sub> و L<sub>3</sub>) برابر ۵ mm در نظر گرفته شده است. به منظور بررسی اثر هم زمان ضخامت‌های لایه میانی (L<sub>1</sub>) و لایه محافظ (L<sub>3</sub>) روی مقادار تأخیر زمانی سامانه در پاسخگویی در حالت on، نمودار تغییرات  $t_{lag}$  بر حسب L<sub>1</sub> به ازای مقادیر متفاوتی از L<sub>3</sub> در شکل ۱۱ رسم شده است. برای رسم این منحنی‌ها، نسبت K<sub>1</sub>/K<sub>p</sub>

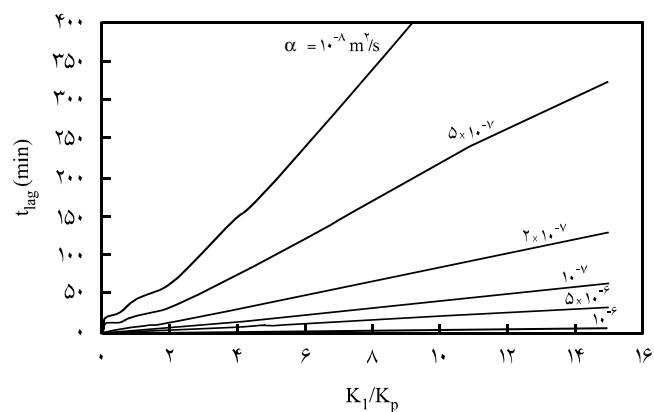


شکل ۹- نمودار  $t_{lag}$  بر حسب ضخامت لایه میانی (L<sub>3</sub>) و مقادیر متفاوتی از  $\alpha$ .

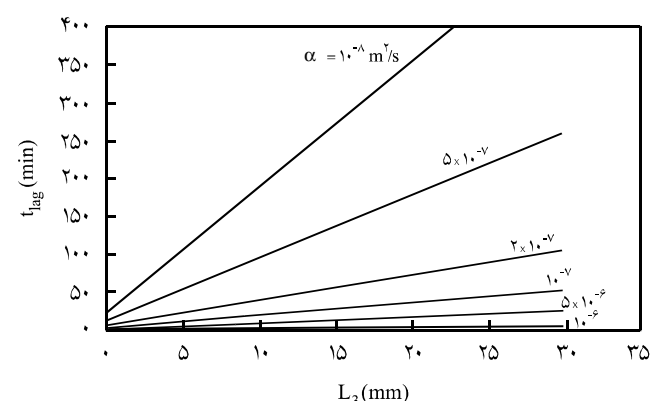
همچنین ثابت  $\alpha$  است. بر اساس معادله (۱۹)،  $\alpha$  پارامتری است که به خواص ماده تشکیل دهنده لایه میانی و همچنین اختلاف دمای محیط آزادسازی با دمای مقرر برای رهایش (یا همان دمای ذوب ماده تشکیل دهنده لایه میانی) بستگی دارد. به منظور بررسی کمی اثر هر کدام از این عوامل بر تأخیر زمانی سامانه در پاسخگویی در حالت on، منحنی‌های  $t_{lag}$  بر حسب مقادیر مختلفی از این پارامتر رسم شده است.

شکل ۱۰ نمودار تغییرات  $t_{lag}$  را بر حسب ضخامت لایه میانی (L<sub>1</sub>) به ازای مقادیر متفاوتی از  $\alpha$  نشان می‌دهد. این شکل، به ازای ضخامت مشخصی از لایه محافظ (L<sub>3</sub> = ۵ mm) و همچنین مقادیر ثابتی از نسبت ضریب رسانندگی گرمایی لایه میانی به لایه محافظ (K<sub>1</sub>/K<sub>p</sub> = ۲) رسم شده است. همان‌طور که مشاهده می‌شود، به ازای تمام مقادیر  $\alpha$ ، با افزایش ضخامت لایه میانی (L<sub>1</sub>)، تأخیر زمانی سامانه در پاسخگویی در حالت on افزایش می‌یابد.

همچنین در مقادیر یکسان از L<sub>1</sub>، با افزایش مقادیر  $\alpha$ ،  $t_{lag}$  به طور قابل ملاحظه‌ای کاهش می‌یابد. شکل ۱۰ به خوبی نشان می‌دهد که با



شکل ۱۰- نمودار  $t_{lag}$  بر حسب K<sub>1</sub>/K<sub>p</sub> و به ازای مقادیر مختلفی از  $\alpha$ .



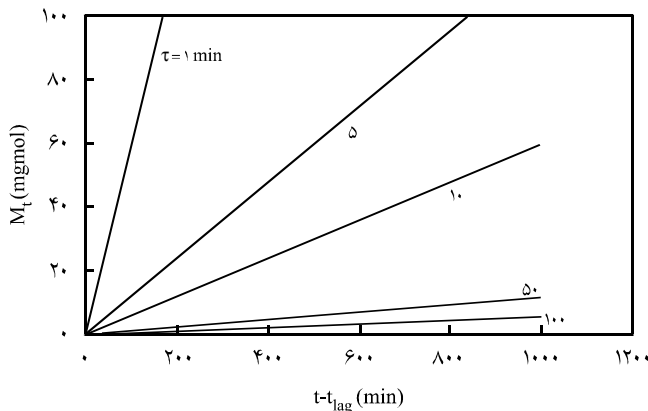
شکل ۱۱- نمودار  $t_{lag}$  بر حسب ضخامت لایه محافظ و مقادیر متفاوت از  $\alpha$ .

که اگر محیط آزادسازی (بدن انسان) نیازمند رهایش دارو به مقدار بیشتری باشد، بر اساس معادله (۳۴) باید از سامانه‌ای با ثابت زمانی کوچکتر استفاده شود و اگر محیط نیازمند رهایش دارو با مقادیر کمتری باشد، باید سامانه مورد نظر را طوری طراحی کرد که ثابت زمانی آن مقادیر بزرگتری داشته باشد.

در حالت کلی مقدار مورد نیاز داروی آزاد شده در محیط باید بالحظ کردن شرایط پزشکی و نیاز بیمار معین شود. بر اساس این اطلاعات و داشتن منحنی‌های سینتیکی رهایش دارو از سامانه (شکل ۱۲) می‌توان در خصوص شرایط طراحی سامانه (تعیین ثابت زمانی آن) تصمیم‌گیری کرد. همچنین، شکل ۱۲ نشان می‌دهد که در زمان‌های یکسان از شروع رهایش، سامانه دارای  $\tau$  کوچکتر موجب رهایش بیشتر دارو نسبت به سامانه مشابه دارای  $\tau$  بزرگتر می‌شود. شایان ذکر است که در رسم منحنی‌های سینتیکی شکل ۱۲، مقدار کمیت  $L_3/C_p$  برابر  $t_{lag}$  در  $10^{-2} \text{ mgmol/min}$  در نظر گرفته شده است.

همان طور که قبل اشاره شد، بررسی سینتیک رهایش ناخواسته دارو در حالت off، یعنی تعیین مقدار داروی آزاد شده پس از کاهش دمای محیط آزادسازی در حالت on به دمایی کمتر از دمای مقرر برای رهایش دارو ( $T_{set}$ )، یکی از مهم‌ترین موارد بررسی کارایی سامانه در پاسخگویی به تغییرات دمای محیط است.

با توجه به ماهیت سامانه مورد بحث و برآسان معادلاتی که در بخش قبل برای حالت off مورد شد، مشخص شد که در این حالت و پس از کاهش دمای محیط در زمان  $t$ ، مقداری از داروی موجود در لایه محافظ به مرور زمان در محیط آزاد می‌شود که این مقدار به شکل نسبت داروی آزاد شده به کل داروی موجود در لایه محافظ در لحظه  $t$  ( $M_t/M_{\infty}$ ) و بر اساس معادله (۴۹) قابل بیان است. در ادامه به طور کمی تابع  $M_t/M_{\infty}$



شکل ۱۲- نمودار تغییرات مقدار داروی آزاد شده در محیط بر حسب زمان در حالت on.

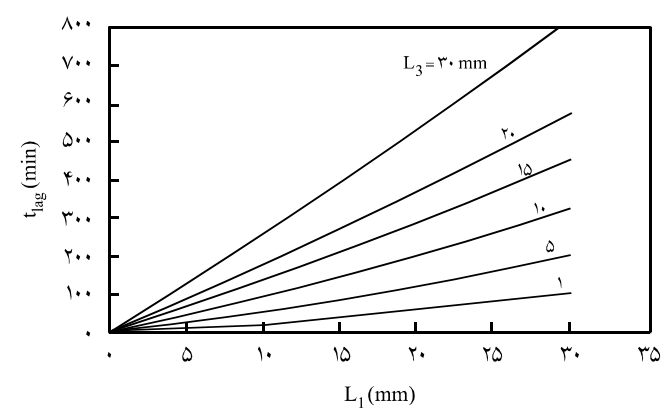
برابر ۵ و ثابت  $\alpha$  معادل  $(m^2/s)^{-1/2}$  در نظر گرفته شده است. شکل ۱۱ نشان می‌دهد که با افزایش  $L_1$  و  $L_3$ ، مقدار  $t_{lag}$  افزایش می‌یابد. بنابراین، برای حصول سامانه‌ای با تأخیر زمانی اندک، باید تاحد امکان ضخامت لایه‌های میانی و محافظ را کاهش داد. برای سامانه موجود و با داشتن مقادیر  $L_1$  و  $L_3$  می‌توان به کمک منحنی‌های شکل ۱۱،  $t_{lag}$  را معین کرد.

بدون تردید بررسی سینتیک رهایش دارو در سامانه، یعنی تعیین مقدار داروی آزاد شده بر حسب زمان پس از بروز تغییرات در دمای محیط در حالت on، یکی از مهمترین عوامل سامانه‌های آزادسازی هوشمند پاسخگو به دماست.

اگر سینتیک رهایش دارو از سامانه معلوم باشد، به سهولت می‌توان بر اساس مقدار داروی آزاد شده در محیط در زمان‌های مختلف و براساس داده‌های سینتیکی دارو، از مقدار اثر دارو و نحوه درمان مطلع شد. برای این منظور، در سامانه مورد نظر و بر اساس معادله (۳۸) که در آن مقدار داروی آزاد شده در محیط ( $M_t$ ) در زمان‌های بزرگتر از  $t_{lag}$  بر حسب زمان به دست آمده است، می‌توان منحنی‌های تغییرات تابع  $M_t$  را بر حسب زمان و به ازای مقادیر متفاوتی از ثابت زمانی سامانه ( $\alpha$ ) ترسیم کرد.

شکل ۱۲، نمودار تغییرات  $M_t$  را بر حسب زمان‌های بزرگتر از  $t_{lag}$  ( $t-t_{lag}$ ) به ازای مقادیر مختلفی از  $\alpha$  نشان می‌دهد. بدیهی است که بر اساس مطالب ذکر شده در بخش‌های قبل، مقدار داروی آزاد شده در زمان‌های کوچکتر از  $t_{lag}$  برابر صفر است.

همان طور که شکل ۱۲ نشان می‌دهد، با افزایش زمان مقدار داروی آزاد شده در محیط در حالت on افزایش می‌یابد و مقدار  $M_t$  با گذشت زمان برای سامانه‌هایی با  $\alpha$  کوچکتر با سرعت بیشتری انجام می‌شود (شیب منحنی  $M_t$  بر حسب  $t-t_{lag}$  بیشتر است). این امر بدلین معنی است



شکل ۱۱- نمودار  $t_{lag}$  بر حسب  $L_1$  و به ازای مقادیر متفاوتی از  $L_3$ .

## نتیجه گیری

در این پژوهش، سامانه نوین دارورسانی هوشمند پاسخگو به دما معرفی شد که در آن رهایش دارو یا هر ماده مؤثر دیگر، تنها در اثر تحریک دمایی انجام می‌شود. در این سامانه، که به شکل صفحه‌ای است، از سه بخش کاملاً مجزا از یکدیگر شامل هسته مرکزی دارویی، لایه تغییر فازدهنده میانی و لایه محافظه پلیمری تشکیل شده است. دارو با ساز و کار نفوذ و به واسطه تغییر فاز جامد - مایع لایه میانی در محیط آزاد می‌شود. سامانه مورد نظر برخلاف سایر سامانه‌های هوشمند پاسخگو به دما که علاوه بر تحریک دمایی تحت تأثیر سایر محرک‌های محیطی نیز قرار می‌گیرند، تنها به تغییرات دمای محیط آزادسازی، حساس و پاسخگو است و دارو را به طور خاموش - روشن (on-off) در محیط آزاد می‌کند.

با توجه به هدف اساسی این پژوهش که مدل سازی نحوه کارایی سامانه با تغییرات دمای محیط است، معادلات بنیادی انتقال گرمای و جرم حاکم بر سامانه در حالت شبه پایا برای دو حالت on و off بررسی شد. به کمک حل معادلات انتقال گرمای در حالت on، رابطه مهم تأخیر زمانی سامانه در پاسخگویی به تغییرات دمای محیط به دست آمد و با حل معادلات انتقال جرم در این حالت، سینتیک رهایش دارو از سامانه حاصل شد.

همچنین، با حل معادلات انتقال جرم در حالت off، سینتیک رهایش ناخواسته دارو در این حالت معین شد. به منظور بررسی دقیق نحوه کارایی سامانه، معادلات حاصل به شکل نمودارهایی بر حسب متغیرهای اثرگذار بر پاسخگویی سامانه، در بخش نتایج ترسیم و بحث شد. در حالت کلی بر اساس نتایج، می‌توان گفت که عواملی چون ابعاد سامانه، نوع مواد تشکیل دهنده لایه‌های میانی و محافظه، ثابت‌هایی چون  $\alpha$  و  $\alpha$  اثر بسیار زیادی بر نحوه کارایی و پاسخگویی سامانه دارند.

از نظر سرعت پاسخگویی سامانه به تغییرات دمای محیط در حالت on می‌توان چنین نتیجه گرفت که کاهش ضخامت لایه‌های میانی و محافظه ( $L_1$  و  $L_3$ )، کاهش نسبت ضریب رسانندگی گرمایی لایه میانی مذاب به لایه محافظه ( $K_p/K_1$ ) و همچنین افزایش مقدار ثابت  $\alpha$  برای سامانه، موجب تسريع پاسخگویی سامانه به افزایش دمای محیط و کاهش تأخیر زمانی در شروع رهایش دارو می‌شود.

همچنین، از نظر سینتیک رهایش دارو در حالت on نیز بر اساس نتایج به دست آمده می‌توان عنوان کرد که مقدار داروی آزاد شده تابعی از ثابت زمانی  $\alpha$  است و به منظور افزایش مقدار داروی آزاد شده باید ثابت زمانی سامانه را کاهش داد که این امر با تغییر ابعاد سامانه و همچنین تغییر نوع ماده تشکیل دهنده لایه میانی امکان پذیر است.

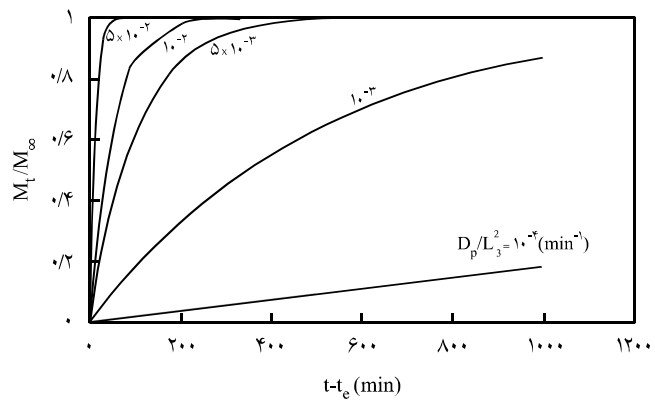
افزون بر این، می‌توان نتیجه گیری کرد که برای تسريع در عملیات

بر حسب زمان (زمان‌های بزرگتر از  $t_e$ ) بررسی می‌شود. در شکل ۱۳، منحنی تغییرات تابع  $M'/t_e$  بر حسب  $D_p/L_3^2$  به ازای مقادیر مختلفی از کمیت  $D_p/L_3^2$  با واحد  $\text{min}^{-1}$  رسم شده است. همان طور که در این شکل مشاهده می‌شود، با گذشت زمان نسبت داروی آزاد شده از سامانه به کل داروی موجود در لایه محافظه در لحظه  $t_e$  افزایش می‌یابد و بسته به مقدار  $D_p/L_3$  در زمان‌های مشخص به مقدار نهایی ( $M'/t_e = 1$ ) نزدیک می‌شود.

برای سامانه‌های دارای کمیت  $D_p/L_3^2$  بزرگتر، زمان تخلیه تقریباً کامل (۰.۷  $M'/t_e \infty = 1$ ) لایه محافظه از داروی موجود در آن (زمان رسیدن به ۱  $M'/t_e$ ) کوچکتر است. به عبارت دیگر، پاسخگویی سامانه‌های دارای کمیت  $D_p/L_3^2$  بزرگتر، سریع‌تر از سامانه‌های مشابه دارای کمیت  $D_p/L_3^2$  کوچکتر است. می‌توان عنوان کرد که هر چقدر کمیت  $D_p/L_3^2$  برای سامانه‌ای بزرگتر باشد، سامانه سریع‌تر به کاهش دمای محیط به زیر  $T_{\text{set}}$  پاسخ می‌دهد و در زمان‌های کمتری رهایش دارو از آن قطع می‌شود.

بدیهی است که مقدار  $D_p/L_3^2$  را برای هر سامانه با انتخاب نوع لایه محافظه و ضخامت آن می‌توان تنظیم کرد، به طوری که با انتخاب سامانه‌ای که مقدار ضریب نفوذ دارو در لایه محافظه آن مقداری بزرگ و ضخامت آن نیز کوچک باشد، می‌توان زمان پاسخ دهی حالت off آن را به مقدار قابل ملاحظه‌ای کاهش داد.

همان طور که در شکل ۱۳ نشان داده شده است، در حالتی که سامانه دارای کمیت  $D_p/L_3^2$  بسیار کوچکی باشد، ممکن است پس از کاهش دمای محیط در زمان  $t_e$  تا مدت زمان بسیار طولانی، رهایش ناخواسته دارو از آن انجام شود، مقدار هوشمندی و سرعت پاسخگویی سامانه به مقدار زیادی کاهش یابد. از این رو، در طراحی سامانه‌ای مطلوب باید بر اساس شکل ۱۳، به مسئله تعیین مقدار مناسب برای کمیت  $D_p/L_3^2$  توجه شود.



شکل ۱۳- منحنی‌های کسر داروی آزاد شده از سامانه در محیط در حالت off.

(قطع سریع رهایش) دست یافت. در حالت کلی، مدل سازی سامانه مورد نظر این امکان را فراهم می‌سازد تا با انتخاب عوامل اساسی سامانه به شکل بهینه شده در موارد عملی، به سامانه‌هایی با سرعت پاسخگویی مطلوب و مورد نظر دست یافت.

از ادسانزی ناخواسته مواد دارویی موجود در لایه محافظ در حالت off و اتمام سریع رهایش در این حالت، بر اساس نتایج حاصل باید متغیرهای مربوط به لایه محافظ شامل نوع و ضخامت آن را تغییر داد. به این ترتیب، با کاهش ضخامت لایه محافظ ( $L_3$ ) یا تغییر نوع ماده آن (افرایش  $D_p$ ، می‌توان به سامانه‌ای با سرعت پاسخگویی زیاد در حالت off

## مراجع

1. Kim Ch. J., *Controlled Release Dosage Form Design*, Tech-nomic, Lancaster PA, 2000.
2. Okano T., *Biorelated Polymers and Gels: Controlled Release and Applications in Biomedical Engineering*, Academic, 1998.
3. Qiu Y. and Park K., Environment-sensitive Hydrogels for Drug Delivery, *Adv. Drug. Deliv. Rev.*, **53**, 321-339, 2001.
4. Peppas N.A., Bures P., Leobandung W. and Ichikawa H., Hydro-gels in Pharmaceutical Formulations, *Eur. J. Pharm. Biophar.*, **50**, 27-46, 2000.
5. Jeong B., Kim S.W. and Bae Y.H., Thermosensitive Sol-Gel Reversible Hydrogels, *Adv. Drug Deliv. Rev.*, **54**, 37-51, 2002.
6. Peppas N.A., Physiological Responsive Gels, *J. Bioact. Compat.* *Polym.*, **6**, 241-246, 1991.
7. Dagani R., Intelligent Gels, *Chem. Eng. News*, **75**, 2323-2329, 1997.
8. Bromberg L.E. and Ron E.S., Temperature-responsive Gels and Thermogelling Polymer Matrices for Protein and Peptide Deliv-ery, *Adv. Drug Deliv. Rev.*, **31**, 197-221, 1998.
9. Zhong X., Wang Y.-X. and Wang S.-C., Pressure Dependence of the Volume Phase-transition of Temperature-sensitive Gels, *Chem. Eng. Sci.*, **51**, 3235-3239, 1996.
10. Park T.G. and Hoffman A.S., Sodium Chloride-induced Phase Transition in Nonionic Poly(N-isopropylacrylamide) Gel, *Macromolecules*, **26**, 5045-5048, 1993.